

褐飞虱肌动蛋白基因 3' 末端克隆与测序

刘美德, 洪晓月*, 杜建光, 程遐年

(南京农业大学植物保护学院昆虫学系, 南京 210095)

摘要: 应用锚定的 3'-RACE 方法, 对褐飞虱 *Nilaparvata lugens* (Stål) 肌动蛋白基因 3' 末端进行了扩增、克隆和测序, 并对所得到的 5 个 cDNA 片段的不译端的序列进行了比较。结果显示: BPH-A 和 BPH-D 与其他序列不同; BPH-B、BPH-C 和 BPH-E 三条片段的不译端的序列很相似, 只是长度不同。另外, 所得序列中所含翻译区的氨基酸序列高度保守, 根据肌动蛋白基因结构特点可以推断 BPH-A 和 BPH-D 属肌肉特异型肌动蛋白基因, BPH-B、BPH-C 和 BPH-E 属细胞质特异型肌动蛋白基因。

关键词: 褐飞虱; 肌动蛋白; 3'-RACE; 基因表达

中图分类号: Q966 文献标识码: A 文章编号: 0454-6296 (2003) 04-0540-05

Cloning and sequencing the 3' terminal of the actin genes in the brown planthopper, *Nilaparvata lugens* (Stål)

LIU Mei-De, HONG Xiao-Yue*, DU Jian-Guang, CHENG Xia-Nian (Department of Entomology, Plant Protection College, Nanjing Agricultural University, Nanjing 210095, China)

Abstract: The 3' terminal of the actin genes in the brown planthopper, *Nilaparvata lugens* (Stål) was amplified, cloned and sequenced using the anchored 3'-RACE method. Through homologous comparison of these sequences in untranslated regions, we found that BPH-A and BPH-D were different from other sequences, and that BPH-B, BPH-C and BPH-E had the same sequence except for different 3' terminal sites. The amino acid sequence of the 3' terminal of the actin genes in *N. lugens* is highly conservative. According to structural characteristics of the actin genes, we conclude that BPH-A and BPH-D are muscle specific while BPH-B, BPH-C and BPH-E are cytoplasm specific.

Key words: *Nilaparvata lugens*; actin; 3'-RACE; gene expression

褐飞虱 *Nilaparvata lugens* (Stål) 是一种远距离迁飞的重要水稻害虫, 在我国除黑龙江、内蒙古、青海和新疆以外的省区广泛地发生与为害 (程遐年等, 1979)。褐飞虱成虫具明显的翅两型现象, 短翅型属于定居繁殖型, 长翅型成虫属于迁移型; 长翅型的出现表明有外地虫源迁入或本地虫源即将迁出。由于其迁飞与飞行肌的活动是紧密相关的, 所以飞行肌的研究对探明其迁飞的生理学和内在的调控机制具有深远的意义。肌动蛋白在所有的真核细胞中都有发现, 它是细胞骨架的主要成分及各种形式的细胞和器官 (肌肉) 的运动的主要因子, 并且它们在生物发育过程中的表达具有时空特异性。肌动蛋白是由一个由多个基因组成的家族所编码, 肌

动蛋白基因家族中蛋白编码区是相当保守的, 一般在氨基酸水平上可达 90%; 而在 3' 非翻译区域, 至今不能找到具有相同的 3' 非翻译区域的肌动蛋白基因 (Fyrberg *et al.*, 1981)。另有研究表明 3' 非翻译区域对 mRNA 的翻译和稳定起着至关重要的作用 (石统东和吴玉章, 1998), 它不仅调控翻译产物, 还控制翻译的时间和地点 (Kwon and Hecht, 1991)。我们对褐飞虱肌动蛋白基因的 3' 非翻译区域进行克隆并测序, 以期对褐飞虱体内的肌动蛋白基因的特性有深入了解, 并进一步揭示褐飞虱的翅型分化和迁飞的分子机理, 为褐飞虱的田间种群动态监测以及防治策略提供有效的手段和理论依据。

基金项目: 国家自然科学基金资助项目 (39770500); 江苏省自然科学基金项目 (BK97087)

作者简介: 刘美德, 男, 1973 年 1 月生, 江西泰和人, 博士生, 研究方向为昆虫分子生物学

* 通讯作者 Author for correspondence, Tel: 025-4395339, Fax: 025-4395246, E-mail: xyhong@njau.edu.cn

收稿日期 Received: 2002-07-12; 接受日期 Accepted: 2003-02-10

1 材料和方法

1.1 供试虫源

供试褐飞虱是在 $(25 \pm 2)^\circ\text{C}$ 、相对湿度 70% ~ 85% 的条件下, 连续用黄熟期水稻筛选获得的褐飞虱长翅型品系。从若虫期开始一直到成虫期 (羽化后 4 h 止), 从每一发育期开始每隔 4 h 取一次样, 样品以液氮速冻保存。

1.2 化学试剂

总 RNA 提取试剂盒 (RNAagents Total RNA Isolation System)、dNTP (10 mmol/L)、M-MLV RT (200 U/ μL) 和 Taq DNA 聚合酶 (5 U/ μL), 均为 Promega 公司产品; 实验所用引物由中国科学院上海植物生理研究所合成; Rnsin (32 U/ μL), 华美公司产品; PCR 产物回收与纯化试剂盒 (WizardTM PCR Preps DNA Purification System) 购自 Promega 公司; DNA Marker (GenrulerTM 100 bp DNA Ladder Plus); Promega 公司的 Pgem[®]-T Easy Vector Systems; 大肠杆菌 *Escherichia coli* DH5 α 由南京农业大学植物分子遗传实验室惠赠; *Eco*R I 内切酶, 购自 SABC。

1.3 总 RNA 提取

按照 Promega 公司总 RNA 提取试剂盒产品说明书提取试虫的总 RNA, 最后将所提取的总 RNA 沉淀溶解于无核酸酶的水中, 然后用紫外扫描仪对 RNA 定量, 并用无核酸酶的水把它的浓度定至 1 $\mu\text{g}/\mu\text{L}$, 然后在 -70°C 下保存备用。

1.4 cDNA 第一条链的合成

本实验应用锚定下游反转录引物 0422-7: 5' > TCACACAGGAAACAGCTATGACTTTTTTTTTTTTTTTA < 3', 按 M-MLV 反转录酶说明书进行反转录反应, 于 -20°C 保存反转录产物, 以备下一步 PCR 反应应用。

1.5 PCR 反应

参考已发表的昆虫肌动蛋白氨基酸序列 (一般此蛋白质的长度是 376 个氨基酸), 并根据第 351 ~ 358 位氨基酸的序列, 设计合成 PCR 简并引物。上游引物 0422-6: 5' > TT(T, C)CA(A, G)CA(A, G)AT-GTGGAT(C, T)TC(A, G, C)AA(A, G) < 3' (Salazar *et al.*, 1994); 下游引物即反转录反应的锚定的下游引物。PCR 反应参数设置为: 首先 94°C 预循环 2 min, 然后 94°C 1 min, 57°C 1 min, 72°C 1 min, 运行 30 个循环, 最后 72°C 延伸 10 min。

1.6 PCR 产物的回收与纯化

参照 PCR 产物回收与纯化试剂盒 (WizardTM PCR Preps DNA Purification System) 的方法, 把 RT-PCR 反应中的各 DNA 条带纯化回收, 并用电泳鉴定, 定量, 存于 -20°C 备用。

1.7 PCR 产物的回收纯化片段的克隆与测序

参照 Promega 公司的 Pgem[®]-T Easy Vector Systems 说明书, 以 *E. coli* DH5 α 为受体宿主菌, 把上述各回收及纯化的产物进行克隆, 并经质粒 DNA 提取 (金冬雁等, 1995)、*Eco*R I 酶切鉴定、二次 PCR 鉴定后, 送北京赛百盛生物有限公司测序。

2 结果

2.1 褐飞虱肌动蛋白基因 3' 末端的 RT-PCR

褐飞虱总 RNA 的 RT-PCR 反应可以扩增至 5 条特异性肌动蛋白基因 3' 末端, 这表明在褐飞虱体内有 5 种不同的肌动蛋白基因表达, 为以后工作方便, 从大到小依次命名为 BPH-A、BPH-B、BPH-C、BPH-D 和 BPH-E; 从电泳照片中可以看出 BPH-A 和 BPH-E 表达量比其他 3 条要大。然后依次克隆 5 条片段, 并测序。

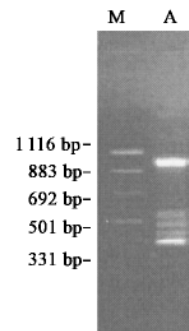


图 1 褐飞虱肌动蛋白基因 3' 末端的 RT-PCR

Fig. 1 RT-PCR of the actin gene 3' terminal in the brown planthopper

M: DNA 分子量标准 Puc Mix DNA mark;

A: PCR 产物 production of RT-PCR.

2.2 测序结果

2.2.1 3' 末端克隆的序列比较: 应用 DNA STAR 序列分析软件对测序结果进行分析, 其中翻译区中的可变氨基酸 {S/G: TCA (C) /GGC} 和终止子密码子 (TAA) 以下划线标示, 真核生物 mRNA 特有转录加尾信号 (AATAAA) 也以下划线标出。序列经比较分析后结果如图 2 所示。

		序列同源性 Percent identity					
序列差异性 Divergence		1	2	3	4	5	
1			92.4	88.7	22.9	15.4	1
2	3.8			88.2	22.9	17.0	2
3	7.8	7.8			25.3	21.1	3
4	86.5	86.0	81.2			16.6	4
5	87.8	91.8	100.7	78.2			5
	1	2	3	4	5		

图3 5条克隆片段(BPH-A, B, C, D, E)的序列同源率与差异率矩阵图

Fig. 3 Homologous and different ratio matrix of five clones (BPH-A, B, C, D, E)

1. BPH-B; 2. BPH-C; 3. BPH-E; 4. BPH-D; 5. BPH-A.

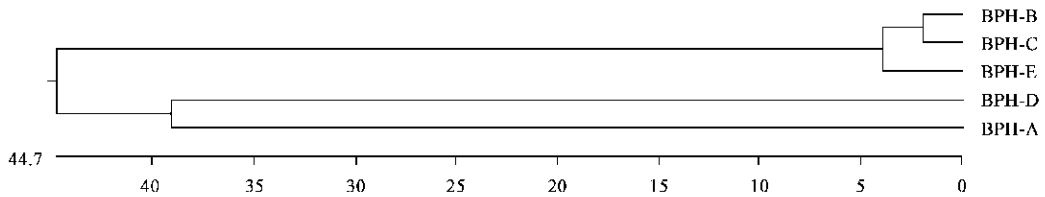


图4 5条克隆片段(BPH-A, B, C, D, E)的聚类关系树

Fig. 4 Phylogenetic tree of five clones (BPH-A, B, C, D, E)

3 讨论

本实验从褐飞虱体内克隆出了5条肌动蛋白基因的3'末端。从克隆测序的结果看,它们在末端氨基酸序列上是相当保守的,除了第357位氨基酸有一定变化外(BPH-A和BPH-D在这一位置为“S”,BPH-B、BPH-C和BPH-E则为“G”),其余部位的氨基酸是相当保守的,这与肌动蛋白基因的氨基酸编码区的高度保守性是一致的;而第357位的氨基酸,正是已经发现的肌动蛋白基因家族在氨基酸编码区有限的可变化的位点之一(Fyrberg *et al.*, 1981)。从已发表的有关肌动蛋白基因的氨基酸编码区的序列比较来看,在这一位点的氨基酸如果是“G”的话,则这一肌动蛋白基因为细胞质型肌动蛋白;如果是“S”的话则为肌肉型肌动蛋白(Haymer *et al.*, 1990)。结合实验结果,我们可以推断BPH-A和BPH-D为肌肉型肌动蛋白,BPH-B、BPH-C和BPH-E为细胞质型肌动蛋白。这一方面与肌动蛋白基因在氨基酸编码区高度保守的特性相符合,另一方面也证明了我们所克隆的5条片段确实属于褐飞虱体内所表达的肌动蛋白基因的3'末端。

其次,从得到的5个cDNA片段的3'非翻译区域的序列比较来看,BPH-A和BPH-D分别与其它

序列不同(序列相似度只有15.4%~25.3%),而BPH-B、BPH-C和BPH-E三条片段的3'非翻译区域的序列相似度是很高的(达88.2%~92.4%),只是长度上不同而已;另外从序列对比的结果来看,BPH-C、BPH-E分别与BPH-B在前两个加尾信号前的序列基本一致(除个别碱基差异)。鉴于肌动蛋白基因的结构特点,可以确定在褐飞虱体内的肌动蛋白基因家族至少有5个肌动蛋白基因。

另外从褐飞虱肌动蛋白基因3'末端的RT-PCR电泳结果看,BPH-A与BPH-E的表达量要比其他几个肌动蛋白基因要高,它们在褐飞虱体内的生理作用可能更为重要。考虑到BPH-A与BPH-D属于肌肉特异性肌动蛋白基因,它们的表达与褐飞虱的飞行肌发育紧密相关,在以后对褐飞虱在翅型分化中飞行肌的变化以及揭示其分子机制的研究工作中应作为主要的对象。

致谢 在研究过程中得到江苏省农业科学院植物保护研究所周益军研究员、范永坚研究员和武淑华副研究员的技术指导和帮助,谨此为谢!

参 考 文 献 (References)

- Cheng X N, Chen R C, Xi X, Yang L M, Zhu Z L, Wu J C, Qian R G, Yang J S. 1979. Studies on the migration rules of the brown planthopper *Nilaparvata lugens* (Stål). *Acta Entomologica Sinica*, 22 (1): 1-21.
[程延年, 陈若麓, 习学, 杨联民, 朱子龙, 吴进才, 钱仁贵,

- 杨金生, 1979. 褐飞虱迁飞规律的研究. 昆虫学报, 22 (1): 1 - 21]
- Fyrberg E A, Bond B J, Hershey N D, Mixer K S, Davidson N, 1981. The actin genes of *Drosophila*: protein-coding regions are highly conserved but intron positions are not. *Cell*, 24: 107 - 116.
- Haymer D S, Anleitner J E, He M, Thanaphum S, Saul S H, Ivy J, Houtchens K, Arcangeli L, 1990. Actin genes in the Mediterranean fruit fly: *Ceratitis capitata*. *Genetics*, 125: 155 - 160.
- Kwon Y K, Hecht N B, 1991. Cytoplasmic protein binding to highly conserved sequences in the 3' untranslated region of mouse protamine 2 mRNA, a translationally regulated transcript of male germ cells. *Proc. Acad. Sci. USA*, 88 (9): 3 584 - 3 588.
- Salazar C E, Hamm D M, Wesson D M, Beard C B, Kumar V, Collins F H, 1994. A cytoskeletal actin gene in the mosquito: *Anopheles gambiae*. *Insect Molecular Biology*, 3 (1): 1 - 13.
- Jin D Y, Li M F (Translator), 1995. *Molecular Clone: A Laboratory Manual*. Beijing: Science Press. 19 - 24. [金冬雁, 黎孟枫 (译), 1995. 分子克隆实验指南 (第2版). 北京: 科学出版社. 19 - 24]
- Shi T D, Wu Y Z, 1998. Function of eucaryotic RNA 3' untranslated region in the gene expression. *Progress in Biochemistry and Biophysics*, 25 (3): 195 - 196. [石统东, 吴玉章, 1998. 真核 mRNA 3' 非翻译区在基因表达中的作用. 生物化学与生物物理进展, 25 (3): 195 - 196]